

<sup>1</sup> Национальный технический университет

«Харьковский политехнический институт», г. Харьков, Украина

<sup>2</sup> Харьковский национальный экономический университет,  
г. Харьков, Украина

УДК 666.762.32.022.69.017.620.169.1

## СВОЙСТВА ПЕРИКЛАЗОУГЛЕРОДИСТЫХ ОГНЕУПОРОВ С РАЗНЫМ КОЛИЧЕСТВОМ ГРАФИТА В ШИХТЕ ПРИ ИСПОЛЬЗОВАНИИ МОДИФИКАТОРОВ ЖИДКОЙ ФФС И ГРАФИТА

Представлены результаты исследования влияния введения в шихту периклазоуглеродистых (ПУ) огнеупоров на основе плавленого периклаза с разным количеством графита модифицированных ФФС и графита. Для модификации ФФС использовали ЭТС-40, для модификации графита – золь на основе гидролизата из ЭТС-40 и 20 %-ного раствора  $\text{NiCl}_2$ . Предложены технологическая схема изготовления ПУ-огнеупоров с комплексным модифицированием компонентов, а также состав шихты с 15–20 % графита, показавшей достаточно высокую шлакоустойчивость.

**Ключевые слова:** ПУ-огнеупоры, технологическая схема, модификация, фенолоформальдегидная смола (ФФС), графит, шлакоустойчивость.

Периклазоуглеродистые (ПУ) огнеупоры за последние годы получили широкое распространение. Ведущая роль в разработке, изготовлении и применении ПУ-материалов принадлежит японским фирмам «Kyushu Refractories Co. Ltd», «Shinagawa Refractories Co. Ltd» и «Kurosaki Refractories Co. Ltd». Кроме того, разрабатывают составы, технологии, изучают свойства, анализируют практическое применение австрийские фирмы «Radex» и «Veitscher Magnesitwerke AG», объединенные в настоящее время в фирму «Veitsch-Radex», а также фирмы «Didier-Werke AG» (Германия), «Streetley Refractories» и «GR-Stein Refractories» (Англия), «Nuova Sirma» (Италия), «Dewis Refractories» и «General Refractories» (США), «Mayerton Refractories» (Китай). Группа «Магнезит» (Россия). Информации о создании и использовании комплексных антиоксидантов не обнаружено.

Металлурги Украины используют в основном импортные огнеупоры, так как отечественное производство ПУ-огнеупоров маломощное из-за отсутствия местного магнезиального сырья. Но в Украине небезуспешно занимаются разработкой и производством как фенолоформальдегидных смол (ФФС), так и ПУ-огнеупоров с их использованием.

В черной металлургии футеровки состоят из  $\text{MgO}-\text{C}$  на углеродистой связке отличаются высокой эффективностью, имеют высокие показатели механических, термических и химических свойств. Это позволяет использовать ПУ-огнеупоры для футеровки конвертеров, элек-

трических дуговых печей и сталеразливочных ковшей [1–3], в процессах ковшевой металлургии из-за совместности со шлаками низкой и высокой основности для футеровки шлакового пояса металлических агрегатов [4, 5]. В зоне шлакового пояса происходит интенсивное изнашивание футеровки вследствие химического взаимодействия шлаков с огнеупором, поэтому в этой зоне используют ПУ-огнеупоры на основе плавленого или спеченного периклаза, а не магнезита, причем с малым количеством в шихте графита.

В кислородных конвертерах, в которых выплавляется более 72 % мирового производства стали, рабочий слой футеровки выполняют из ПУ-огнеупоров. При этом для разных зон футеровки используют разное количество графита, повышающего шлакоустойчивость огнеупора при одновременном ухудшении его свойств из-за окисления углерода кислородом. Футеровка разных зон конвертера может быть представлена следующим образом:

- зона загрузки, которая подвергается значительным механическим нагрузкам при высокой температуре, футеруется изделиями из плавленого периклаза чистотой не менее 98 %  $\text{MgO}$  с содержанием 5–12 % графита;
- в зоне верхнего конуса применяют материалы на основе плавленого периклаза из сырья, содержащего 96–97 %  $\text{MgO}$  и 10–12 % графита;
- зона цапф, которая наименее защищена шлаковым гарнисажем и интенсивно подвергается окислению и эрозии, футеруется ПУ-огнеупорами, содержащими 14–18 % графита;
- футеровка слипной части и зоны ванны металла выполняется из близких по составу мате-



Г. Д. Семченко  
E-mail: sgd.ceram@mail.ru

риалов на основе плавленого периклаза с 96–97 % MgO и содержанием графита до 14 %;

- рабочий слой футеровки дна выполняется обычно из огнеупоров на основе спеченного периклаза с 10–12 % графита;

- зона загрузки шлака выполняется из ПУ-огнеупоров, содержащих до 22 % графита;

- шлаковая зона, которая подвергается значительному окислению, футеруется ПУ-огнеупорами с незначительным содержанием углерода (до 3 %);

- зона сталевыпускного отверстия футеруется ПУ-огнеупорами с 15–20 % графита.

Окисление графита ухудшает эксплуатационные свойства ПУ-изделий, снижает срок службы футеровки агрегата. Разработка и опробование новых антиоксидантов [6, 7] для защиты ПУ-огнеупоров от окисления, изучение влияния антиоксидантов на окисление ПУ-материала с разным количеством графита в шихте представляет большой практический интерес.

Разработана технология производства ПУ-огнеупоров с высокой стойкостью к окислению и воздействию шлака с применением антиоксиданта Al и ФФС, модифицированной элементоорганическими веществами кремния, что позволило улучшить физико-механические свойства огнеупора за счет образования самоармированной наноупрочненной углеродистой связки при коксации модифицированной смолы. При этом из образовавшегося органо-неорганического комплекса  $(-\text{CH}_2)-(\text{SiO}_2)_n$  в углеродистой матрице связующего синтезируются наночастицы SiC [8]. Для улучшения формовочных свойств масс ПУ-огнеупоров на ФФС первоначально было предложено [9] жидкую ФФС модифицировать ТЭОС или ЭТС-32. Модификация позволяла улучшить формовочные свойства масс благодаря повышению текучести жидкой ФФС при модификации кремнийорганикой в связи с «прививкой» ее молекул к поверхности ФФС [10]. После термообработки скоксованной углеродистой связки из ФФС, модифицированной элементоорганическим веществом, в том числе ТЭОС или ЭТС, в процессе службы огнеупора начиная с 1000 °C образуется  $\beta\text{-SiC}$  (рис. 1), который также является антиоксидантом.

При создании комплексного антиоксиданта Al- $\beta\text{-SiC-Ni}$  ( $\text{NiO}$ ) кроме ЭТС в состав ПУ-огнеупора дополнительно вводили модификатор графита в виде золь-гель композиции, полученной путем гидролиза ЭТС-40 [11] раствором неорганической соли  $\text{NiCl}_2$ . Использование разных неорганических солей при гидролизе идентично. Как видно из рис. 1, б, синтезированный SiC сохраняется в процессе термообработки безобжигового ПУ-огнеупора и будет выполнять роль антиоксиданта в процессе службы футеровки из этого материала.

Материал состава  $\text{MgO-C}$ , созданный на основе периклаза, углерода и ФФС, модифициро-

ванный ТЭОС, после термообработки при 180 °C обладает высокими прочностными характеристиками. Упрочнение происходит за счет самоармирования скоксованной углеродистой связки  $\text{MgO-C}$ -композиции наночастицами  $\beta\text{-SiC}$ . Синтезирующиеся в процессе службы огнеупора наночастицы  $\beta\text{-SiC}$  из модифицированной ФФС обеспечивают также увеличение высокотемпературной прочности и шлакоустойчивости материала, уменьшают окисление благодаря присутствию в нем дополнительного антиоксиданта в виде наночастиц SiC. Шлак не смачивает образующуюся на контакте с ним пленку, армированную наночастицами. Самый большой эффект модификации ФФС — создание несмачивающейся пленки на поверхности футеровки из разработанного материала. Введение в состав шихты ПУ-огнеупоров различных антиоксидантов повышает их эффективность именно при использовании модифицированной ФФС. Однако важно найти способ введения дополнительных антиоксидантов, например прекурсоров никеля, в шихту для нанесения на поверхность графита, так как снижение окисления ПУ-огнеупоров в службе все еще остается важной проблемой.

Известно, что действие основного антиоксиданта усиливается при его совместном введении с другими антиоксидантами. Предложено [12, 13] создать комплексный антиоксидант из разных прекурсоров никельсодержащего компонента вместе с золь-гель

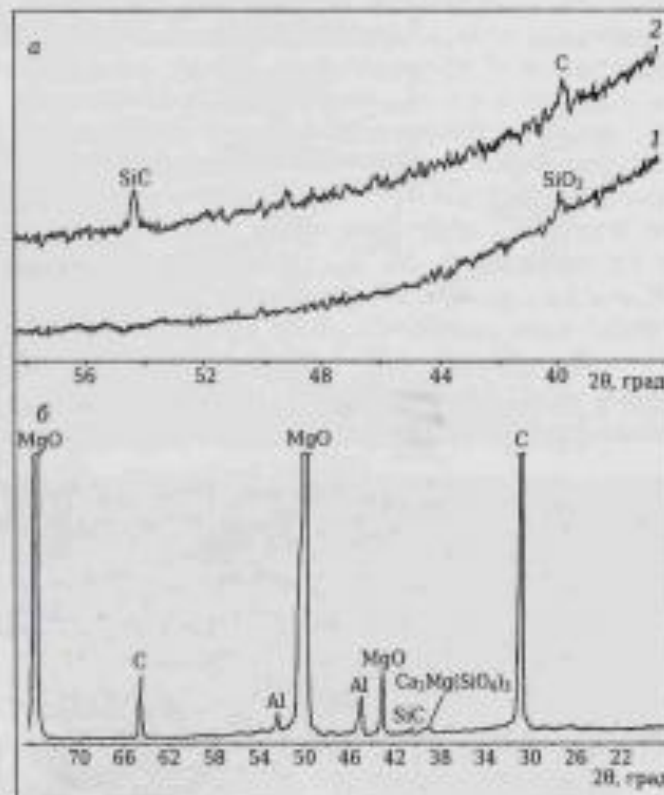


Рис. 1. Рентгенограммы ФФС, модифицированной ЭТС-40 (1), после термообработки при 180–200 (2) и 1000 °C (2), и шихты ПУ-огнеупоров после обжига на воздухе при 1000 °C (6)

композицией. В качестве прекурсоров опробованы неорганические и органические соли никеля.

В настоящей статье приведены результаты исследования влияния количества графита в шихте ПУ-огнеупоров на модифицирование графита золь-гель композицией с неорганическими солями никеля. Установлено, что соляная и серная соли никеля

идентично влияют не только на гидролиз этилсиликата, но и на свойства образцов, изготовленных с использованием графита, модифицированного золь-гель композициями с этими солями никеля. Для модифицирования графита предложено использовать смеси гидролизата ЭТС-40 + неорганическая соль никеля в количестве 0,25–1,75 %.

Исследовали влияние количества графита в шихте ПУ-огнеупоров на их физико-механические свойства и шлакоустойчивость. Для изготовления образцов ПУ-огнеупоров использовали плавленый периклаз и добавку чешуйчатого графита в количестве от 5 до 20 %. Технологическая схема изготовления ПУ-образцов показана на рис. 2. Свойства ПУ-образцов с графитом, модифицированным разным количеством золь-гель композиции с никельсодержащим неорганическим прекурсором, термообработанных при 180 °C, приведены в табл. 1, а после термообработки при 1400 °C — в табл. 2.

При увеличении содержания графита в ПУ-образцах предел прочности при сжатии как скоксовых при 180 °C, так и термообработанных при 1400 °C образцов уменьшается. Содержание графита влияет на открытую пористость и кажущуюся плотность образцов в меньшей степени, чем на их прочность. Более высокие показатели физико-механических свойств наблюдаются в образцах, содержащих графит, модифицированный 1,75 % ЭТС-40/80 (рис. 3). Более высокую прочность имеют образцы с содержанием 0,25 и 1,75 % никельсодержащего модификатора графита при его наименьшем содержании 5 % независимо от температуры термообработки. По-

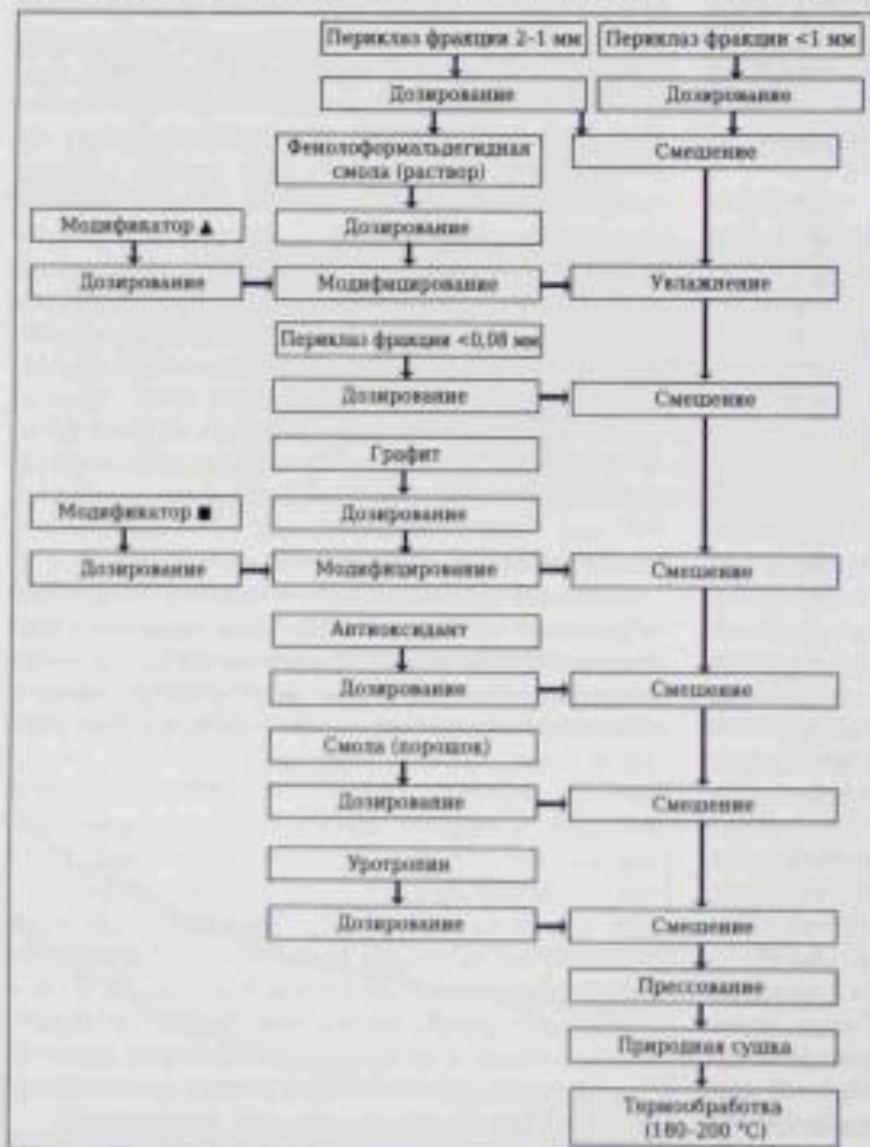


Рис. 2. Технологическая схема производства ПУ-огнеупоров с модифицирующими добавками ЭТС-40 (▲) и ЭТС-40/80 + неорганическая соль никеля (■)

Таблица 1. Свойства ПУ-образцов, термообработанных при 180 °C, с разным содержанием модификатора графита ЭТС-40/80 (с 20 %-ным раствором  $\text{NiCl}_2$ )

| Образец                                | Предел прочности при сжатии, МПа |            |            | Открытая пористость, % |         |         | Кажущаяся плотность, г/см <sup>3</sup> |       |       |
|--|----------------------------------|------------|------------|------------------------|---------|---------|--|-------|-------|
|  | $\sigma_1$                       | $\sigma_2$ | $\sigma_3$ | $\Pi_1$                | $\Pi_2$ | $\Pi_3$ | $p_1$                                  | $p_2$ | $p_3$ |
| Образцы с содержанием ЭТС-40/80 0,25 % |                                  |            |            |                        |         |         |  |       |       |
| 1                                      | 34,0                             | 29,0       | 31,5       | 14,8                   | 15,1    | 14,95   | 2,72                                   | 2,69  | 2,71  |
| 2                                      | 25,0                             | 21,0       | 23,0       | 13,8                   | 13,3    | 13,55   | 2,68                                   | 2,65  | 2,67  |
| 3                                      | 22,0                             | 22,0       | 22,0       | 15,1                   | 13,5    | 14,3    | 2,61                                   | 2,67  | 2,64  |
| 4                                      | 21,0                             | 21,0       | 21,0       | 12,5                   | 12,7    | 12,6    | 2,62                                   | 2,63  | 2,625 |
| Образцы с содержанием ЭТС-40/80 1,75 % |                                  |            |            |                        |         |         |  |       |       |
| 5                                      | 40,0                             | 39,0       | 39,5       | 14,0                   | 13,7    | 13,85   | 2,71                                   | 2,72  | 2,72  |
| 6                                      | 27,0                             | 26,0       | 26,5       | 13,3                   | 13,8    | 13,55   | 2,66                                   | 2,66  | 2,66  |
| 7                                      | 20,0                             | 17,0       | 18,5       | 13,7                   | 14,2    | 13,95   | 2,65                                   | 2,64  | 2,645 |
| 8                                      | 20,0                             | 20,0       | 20,0       | 12,3                   | 12,6    | 12,45   | 2,63                                   | 2,62  | 2,625 |

Таблица 2. Свойства ПУ-образцов, термообработанных при 1400 °С, с разным содержанием модификатора графита ЭТС-40/80 (с 20 %-ным раствором  $\text{NiCl}_2$ )

| Образец                                | Предел прочности при сжатии, МПа |            |                      | Открытая пористость, % |         |                   | Кажущаяся плотность, г/см <sup>3</sup> |          |                    |
|--|----------------------------------|------------|----------------------|------------------------|---------|-------------------|--|----------|--------------------|
|  | $\sigma_1$                       | $\sigma_2$ | $\sigma_{\text{av}}$ | $\Pi_1$                | $\Pi_2$ | $\Pi_{\text{av}}$ | $\rho_1$                               | $\rho_2$ | $\rho_{\text{av}}$ |
| Образцы с содержанием ЭТС-40/80 0,25 % |                                  |            |                      |                        |         |                   |  |          |                    |
| 1                                      | 10,0                             | 11,0       | 10,5                 | 22,3                   | 22,6    | 22,4              | 2,64                                   | 2,61     | 2,63               |
| 2                                      | 8,0                              | 8,0        | 8,0                  | 24,0                   | 22,7    | 23,35             | 2,57                                   | 2,59     | 2,58               |
| 3                                      | 9,0                              | 9,0        | 8,5                  | 23,0                   | 23,0    | 23,0              | 2,53                                   | 2,55     | 2,54               |
| 4                                      | 10,0                             | 9,0        | 9,5                  | 22,0                   | 22,0    | 22,0              | 2,56                                   | 2,56     | 2,56               |
| Образцы с содержанием ЭТС-40/80 1,75 % |                                  |            |                      |                        |         |                   |  |          |                    |
| 5                                      | 14,0                             | 15,0       | 14,5                 | 22,2                   | 22,9    | 22,55             | 2,64                                   | 2,62     | 2,63               |
| 6                                      | 9,0                              | 9,0        | 9,0                  | 23,6                   | 24,2    | 23,9              | 2,57                                   | 2,55     | 2,56               |
| 7                                      | 9,0                              | 8,0        | 8,5                  | 21,0                   | 22,2    | 21,6              | 2,57                                   | 2,56     | 2,565              |
| 8                                      | 11,0                             | 10,0       | 10,5                 | 22,3                   | 22,2    | 22,25             | 2,54                                   | 2,55     | 2,545              |

сле термообработки при 1400 °С более высокие показатели прочности у образцов с 15–20 % графита.

Была исследована шлакоустойчивость ПУ-образцов с разным содержанием в шихте модифицированного графита. В образцах по центру были сделаны отверстия, в которые был засыпан основной шлак следующего состава, мас. %:  $\text{SiO}_2$  38,63,  $\text{Al}_2\text{O}_3$  7,54,  $\text{CaO}$  46,84,  $\text{MgO}$  4,46,  $\text{MnO}$  0,31,  $\text{FeO}$  0,37, S 1,85;  $\text{CaO}/\text{SiO}_2 = 1,21$ . Образцы были термообработаны при 1400 °С и после охлаждения разрезаны перпендикулярно поверхности контакта огнеупор – шлак (рис. 4). При содержании модифицирующей добавки золь +  $\text{NiCl}_2$  0,25 % наибольшая шлакоустойчивость у образца с 10 %

графита в шихте, при содержании 1,75 % модифицирующей добавки — у образца с 20 % графита.

Следовательно, при использовании неорганической соли для создания комплексного антиоксиданта  $\text{Al}-\beta-\text{SiC}-\text{Ni} (\text{NiO})$  совместно с золем в шихту вводится очень малое количество никельсодержащего прекурсора антиоксиданта никеля. Установлено, что с увеличением количества графита в составе ПУ-огнеупоров для повышения их шлакоустойчивости желательно использовать большее количество модифицирующей добавки золь +  $\text{NiCl}_2$ . У всех образцов наблюдается одинаковое незначительное проникновение шлака в огнеупор, приблизительно на 1–2 мм. Шлак во всех образцах остается на поверхности отверстия в виде спеченного конгломерата. Установлено, что с увеличением в шихте количества графита, модифицированного золем с неорганической солью никеля, уменьшения проникновения шлака в огнеупор не наблюдается, так как уплотнения углеродистой связки при использовании золя с неорганическими солями не происходит. При модифицировании графита чистым золем пористость ПУ-материала после термообработки при 180 °С достигает 9,9 % [13], что ниже, чем при использовании золя с неорганической солью, что надо учитывать при выборе рационального метода защиты от окисления.

Для футеровки, например, выпускного отверстия конвертера можно рекомендовать шихту с со-

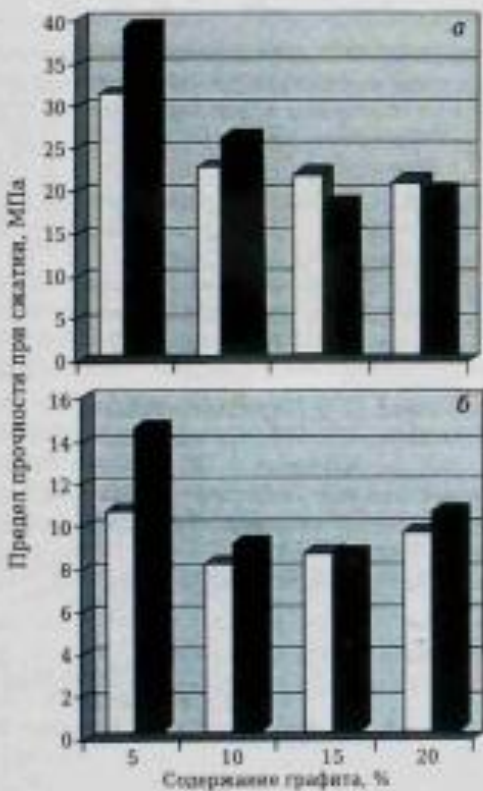


Рис. 3. Предел прочности при сжатии ПУ-образцов с разным содержанием в шихте графита и его никельсодержащего модификатора после термообработки при 180 (а) и 1400 °С (б): □ — количество модификатора 0,25 %; ■ — то же 1,75 %



Рис. 4. Шлакоустойчивость ПУ-образцов с модификатором графита ЭТС-40/80 (с 20 %-ным раствором  $\text{NiCl}_2$ ) в количестве 0,25 (а) и 1,75 % (б) при содержании графита в шихте 10 (а) и 20 мас. % (б)

длением графита 15–20 %, модифицированного 1,75 % ЭТС-40/80 (с 20 %-ным раствором  $\text{NiCl}_2$ ), при введении жидкой ФФС, модифицированной 1,0–1,5 % ЭТС-40, при использовании вместе с 1–2 % антиоксиданта Al. Состав шихты, мас. %, приведен ниже:

|  |           |
|--|-----------|
| Плакированный периклаз (2–1, <1 и <0,08 мм)      | 100       |
| Добавки (сверх 100 %):                           |           |
| Al (пудра)                                       | 1–2       |
| уротропин  | 0,3       |
| ФФС:   |           |
| жидкая   | 4,0       |
| порошкообразная                                  | 2,0       |
| модификатор:                                     |           |
| ФФС (ЭТС-40)                                     | 1,0–1,5   |
| графита (ЭТС-40/80 с раствором $\text{NiCl}_2$ ) | 1,75      |
| графит   | 15,0–20,0 |

Свойства и шлакоустойчивость огнеупора из такой шихты соответствуют требованиям.

Таким образом, при использовании неорганической соли для создания комплексного антиокси-

данта Al– $\beta$ -SiC–Ni ( $\text{NiO}$ ) вводили незначительное количество добавки никельсодержащего прекурсора антиоксиданта никеля совместно с золем. Установлено, что с увеличением количества графита для повышения шлакоустойчивости ПУ-огнеупоров желательно использовать большее количество модифицирующей добавки золь +  $\text{NiCl}_2$ . При использовании разного количества графита в шихте ПУ-огнеупоров при модифицировании ФФС 1,0–1,5 % ЭТС-40 и графита добавкой золь +  $\text{NiCl}_2$  получены материалы пористостью не менее 12,5 %, которая увеличивается при нагревании до 1400 °C из-за окисления графита до 21,6–22,3 % независимо от его количества в шихте и содержания никельсодержащего прекурсора антиоксиданта в виде неорганической соли в золе. Несмотря на это, шлакоустойчивость образцов с 10 и 15–20 % графита в шихте достаточно высокая, проникновение шлака в материал не превышало 1–2 мкм при испытании в течение 2 ч.

#### Библиографический список

1. Кащеев, И. Д. Свойства и применение огнеупоров / И. Д. Кащеев. — М. : Технотехник, 2004. — 352 с.
2. Мальков, М. А. Огнеупоры для черной металлургии / М. А. Мальков // Огнеупоры и техническая керамика. — 2008. — № 10. — С. 39–41.
3. Хорошавин, Л. Б. Магнезиальные огнеупоры / справ. изд. / Л. Б. Хорошавин, В. А. Перепелицын, В. А. Кононов. — М. : Интермет Инжиниринг, 2001. — 576 с.
4. Кащеев, И. Д. Оксидноуглеродистые огнеупоры / И. Д. Кащеев. — М. : Интермет Инжиниринг, 2000. — 265 с.
5. Аксельрод, Л. М. Развитие производства огнеупоров в мире и в России, новые технологии / Л. М. Аксельрод // Новые огнеупоры. — 2011. — № 3. — С. 106–119.
6. Варламова, Г. В. Использование антиоксидантов в составе магнезиальных углеродсодержащих огнеупорных материалов / Г. В. Варламова, Г. А. Лысова, С. И. Боровик // Вестник Южно-Уральского государственного университета. Сер. Математика, физика, химия. — 2005. — № 2 (42). — С. 137–145.
7. Очагова, И. Г. Влияние антиоксидантов на свойства периклазоуглеродистых огнеупорных изделий / И. Г. Очагова // Новости черной металлургии за рубежом. — 1997. — № 2. — С. 146–152.
8. Семченко, Г. Д. Синтез  $\beta$ -SiC из органического комплекса  $(-\text{CH}_2)_n(\text{SiO}_2)_m\text{--C}$  в процессе службы периклазоуглеродистых огнеупоров на модифицированной кремнийорганической фенолформальдегидной смоле / Г. Д. Семченко, О. Н. Борисенко, В. В. Повшук // Информационные технологии: наука, техника, технология, образование, здоровье : тез. докл. XXIII междунар. науч.-практ. конф., 20–22 мая 2015 г., Харьков. — Харьков : Планета-Принт, 2015. — С. 212.
9. Семченко, Г. Д. Создание нанореакторов для синтеза наноразмерных бескислородных соединений / Г. Д. Семченко, И. Н. Опрышко, О. Н. Борисенко [и др.] // Вісник НТУ «ХПІ». — 2008. — № 38. — С. 162–166.
10. Слепченко, О. Н. Исследование взаимодействия модифицирующей добавки кремнийорганики с компонентами смоляного связующего / О. Н. Слепченко, Г. Д. Семченко, Т. В. Соловей, А. А. Майборода // Вісник НТУ «ХПІ». — 2005. — № 27. — С. 51–56.
11. Борисенко, О. Н. Влияние солей никеля на процессы гидролиза этилсиликатных связующих для защиты графита от окисления в углеродсодержащих огнеупорах / О. Н. Борисенко // Сб. науч. работ ПАТ «УкрНИИО им. А. С. Бережного». — 2011. — № 111. — С. 47–51.
12. Бражник, Д. А. Моделирование фазовых реакций в системе  $\text{Mg}-\text{Ni}-\text{C}-\text{O}$  при разработке периклазоуглеродистых материалов / Д. А. Бражник, Г. Д. Семченко, В. В. Повшук // Информационные технологии, наука, техника, технология, образование, здоровье : тез. докл. XXIII междунар. науч.-практ. конф., 20–22 мая 2015 г., Харьков. — Харьков : Планета-Принт, 2015. — С. 202.
13. Семченко, Г. Д. Периклазоуглеродистые материалы повышенной стойкости к окислению и действию шлака / Г. Д. Семченко, В. В. Повшук // Материалы Всероссийской научной конференции с международным участием «II Байкальский материаловедческий форум», 29 июня – 5 июля 2015 г., г. Улан-Удэ. В 2 ч. Ч. 1. — Улан-Удэ : БНЦ СО РАН, 2015. — С. 237, 238. ■

Получено 01.04.16  
© Г. Д. Семченко, В. В. Повшук,  
Е. Е. Смиролюб, О. Н. Борисенко, 2016 г.